

## Ejemplo comparación de resultados predictores in silico

Cambio de estudio GLA c.636+919G>A (chrX:100654735 C/T, rs199473684 o NM\_000169:c.636+919G>A)

Exón 4 e intrones adyacentes:

```
gtgagccaagatcgcaacactgcactccaacactggatgacagactgaaccccatctcaaa  
aaattaaaaataaaaaataaaaaataactatatatatagcccaagctggaaattcatttc  
ttcccttattttaccattgttttcccatacag  
GTATAAGCACATGTCCTTGGCCCTCAATAGGACTGCGAGAAAGCATGTGTACTCCTGTG  
AGTGGCCCTCTTATATGTGGCCCTTCAAAAG  
gtgagatagtggagccagaatccaatagaactgtactgatagatagaacttgaacaacaa  
ggaaacdaagggtctccttcaaagtccaacgttacttactatcatcctacatctctccca  
ggttccaaccactttctcaccatgccactgctgtaattatagcctaagctacatcacct  
ggaaagtcatccttggtcttccctttatttcaccattcatgtcctgtctatcaacagt  
ccttcaccagtatctctaaaaatatctctgaatcagcccacttcttccatcttacta  
catgcacctgtgcttcccaagctactatcggctctcaaccagactgctgggaccacctga  
tctctctgcttccactctgtctcaaccccatctattttccaaggagcactagagttatc  
atattaaaatgtaataatcagtttttttttaagaaaaaacctgagacttaaacagag  
ttataaaaaatataaatgtcatcatcagttccctgcttaaaacccttaactcgcttccaa  
ttgcaacttgaatgaaaccaaactgcactgatccagcccttgctgcctcccaaaagtcc  
aagggtcatggctcttttccctggctadactgggttttctttctgtccctcaacactgcaa  
gcttatgtctgccccagggtcttcaacttgctttttttctgctagaaagttcttccc  
caagatttttaagggtcggtctccttaacattgaagtccgagacaaaaagccacatat  
gcagacagttcttctctaaactactttaaaatagccctctgtcaattcattcttcacaca  
ttaacctgtttaattttctctcagagctccacactatttgggaagtatttgttgacttgt  
taccatgtctccctactagagtgtaagtttcatgagggcagggacctgtctgactttga  
ctgtatctctcgcatatggttaagtgttgaatagttatttatggaatgaatccctattat  
tcctcattatctctgcaaaaatagctcttttttccaacatcttaaacctgatatccacc
```

Se ha descrito que este cambio causa la inclusión *in-frame* de un exón críptico de 57 pb. La mutación elimina el motivo que une la proteína silenciadora de splicing (hnRNPA1/A2). Esto lleva al reconocimiento y la inclusión de una secuencia de pseudoexón<sup>1</sup>.

El cambio se encuentra en el intrón 4 (la **g** en color rojo subrayada en azul).

Se va a obtener los resultados que produce analizar esta variable con los diferente predictores y ver cuál de ellos es más preciso.

Nota: en Ensembl está anotada como c. 640-801G>A

1. Palhais B, Dembic M, Sabaratnam R, Nielsen KS, Doktor TK, Bruun GH, Andresen BS (2016) The prevalent deep intronic c. 639+919G>A GLA mutation causes pseudoexon activation and Fabry disease by abolishing the binding of hnRNPA1 and hnRNPA2/B1 to a splicing silencer. Mol Genet Metab 119(3):258–269

## NetGene2

### Donor splice sites, direct strand

pos	5'→3'	phase	strand	confidence	5'	exon	intron	3'
212		1	+	0.47	GTGTACTCCT	^	GTGAGTGGCC	
247		0	+	0.49	CTTTCAAAAG	^	GTGAGATAGT	

### Donor splice sites, complement strand

pos	3'→5'	pos	5'→3'	phase	strand	confidence	5'	exon	intron	3'
1149		178		0	-	0.32	GGGAGACATG	^	GTAACAAGTC	
355		972		1	-	0.44	GGGAGAGATG	^	GTAGGATGAT	
344		983		0	-	0.56	TAGGATGATA	^	GTAAGTAACG	

### Acceptor splice sites, direct strand

pos	5'→3'	phase	strand	confidence	5'	intron	exon	3'
154		1	+	0.80	TCTCATACAG	^	GTTATAAGCA	
367		2	+	0.53	TCTCTCCAG	^	GTTCCAACCA	
701		0	+	0.56	TTTTTTAAAG	^	AAAAAAACCC	
953		0	+	0.16	TTCTGCCTAG	^	AACAGTTCTT	
1111		1	+	0.56	TTCTTCTCAG	^	AGCTCCACAC	

### Acceptor splice sites, complement strand

pos	3'→5'	pos	5'→3'	phase	strand	confidence	5'	intron	exon	3'
178		1149		1	-	0.26	TCCTATTTCAG	^	GGCCAAGGAC	

### Donor splice sites, direct strand

pos	5'→3'	phase	strand	confidence	5'	exon	intron	3'
212		1	+	0.47	GTGTACTCCT	^	GTGAGTGGCC	
247		0	+	0.49	CTTTCAAAAG	^	GTGAGATAGT	
1169		1	+	0.32	CCACTAAAGT	^	GTAAGTTTCA	

### Donor splice sites, complement strand

pos	3'→5'	pos	5'→3'	phase	strand	confidence	5'	exon	intron	3'
1149		178		0	-	0.32	GGGAGACATG	^	GTAACAAGTC	
355		972		1	-	0.44	GGGAGAGATG	^	GTAGGATGAT	
344		983		0	-	0.56	TAGGATGATA	^	GTAAGTAACG	

### Acceptor splice sites, direct strand

pos	5'→3'	phase	strand	confidence	5'	intron	exon	3'
154		1	+	0.80	TCTCATACAG	^	GTTATAAGCA	
367		2	+	0.53	TCTCTCCAG	^	GTTCCAACCA	
701		0	+	0.56	TTTTTTAAAG	^	AAAAAAACCC	
953		0	+	0.16	TTCTGCCTAG	^	AACAGTTCTT	
1111		1	+	0.56	TTCTTCTCAG	^	AGCTCCACAC	

### Acceptor splice sites, complement strand

pos	3'→5'	pos	5'→3'	phase	strand	confidence	5'	intron	exon	3'
178		1149		1	-	0.26	TCCTATTTCAG	^	GGCCAAGGAC	

Aparece un nuevo sitio *donor* en la secuencia mutada (en rojo) si empleamos el aceptor anterior (en verde), se produciría la inclusión de un exón críptico de 57 pb. Si empleara el anterior, se produciría la inclusión de un exón críptico de 215 pb (aunque es menos probable porque tiene menos *confidence*).

## Splice Site Prediction by Neural Network (NNSplice)

### Donor site predictions for 85.53.15.54.14582.0 :

Start	End	Score	Exon	Intron
148	162	0.41	catacag	gtataag
205	219	0.90	tactcct	gtgagtgg
240	254	0.98	tcaaaag	gtgagata
1162	1176	0.96	ctagagt	gtaagttt

### Donor site predictions for 85.53.15.54.14594.0 :

Start	End	Score	Exon	Intron
148	162	0.41	catacag	gtataag
205	219	0.90	tactcct	gtgagtgg
240	254	0.98	tcaaaag	gtgagata
1162	1176	0.98	ctaaagt	gtaagttt

### Acceptor site predictions for 85.53.15.54.14582.0 :

Start	End	Score	Intron	Exon
134	174	0.98	acccattgttttctcatac	agggtataagcacatgtccttg
165	205	0.71	catgtccttggccctgaat	aggactggcagaagcattgtgt
347	387	0.90	tcacctaccatctctccc	agggtccaaccacttctcacca
681	721	0.83	atatcagtttttttttaa	agaaaaaacctgagacttaa
933	973	0.98	acttgcttttttctgcct	agaacagttcttcccaaagat
1091	1131	0.98	cctgtttaattttcttctc	agagctccacactatttggaag
1145	1185	0.71	gttaccatgtctccccact	agagtgaagtttcatgagggc

### Acceptor site predictions for 85.53.15.54.14594.0 :

Start	End	Score	Intron	Exon
134	174	0.98	acccattgttttctcatac	agggtataagcacatgtccttg
165	205	0.71	catgtccttggccctgaat	aggactggcagaagcattgtgt
347	387	0.90	tcacctaccatctctccc	agggtccaaccacttctcacca
681	721	0.83	atatcagtttttttttaa	agaaaaaacctgagacttaa
933	973	0.98	acttgcttttttctgcct	agaacagttcttcccaaagat
1091	1131	0.98	cctgtttaattttcttctc	agagctccacactatttggaag

Desaparece un sitio aceptor de la secuencia wt a la mutada (en rojo). En el *splicing* normal, este sitio no se utiliza, por lo que no tiene por qué estar afectando al *splicing*.

GENSCAN → no da resultados para este cambio

Predicted genes/exons:	Predicted genes/exons:
Gn.Ex Type S .Begin ...End .Len Fr Ph I/Ac Do/T CodRg P.... Tscr..	Gn.Ex Type S .Begin ...End .Len Fr Ph I/Ac Do/T CodRg P.... Tscr..
-----	-----
NO EXONS/GENES PREDICTED IN SEQUENCE	NO EXONS/GENES PREDICTED IN SEQUENCE

MaxEntScan

MAXENT: -34.50    MDD: -24.86    MM: -22.93    WMM: -19.58    MAXENT: -7.01    MM: -6.49    WMM: -7.51

Spliceman



Point mutation	Wildtype (wt)	Mutation (mt)	L1 distance	Ranking (L1)
cacta(g/a)agtgt	tagagt	taaagt	27888	61%

En el análisis del efecto del cambio, se obtiene una puntuación elevada (61%) para el cambio, por lo que puede estar afectando al *splicing*.

CRYP-SKIP

Se emplea para el exón y las regiones flanqueantes a este, por lo que este predictor no va a ser útil para una variante intrónica profunda.

Human Splicing Finder

Type	↑↓	Interpretation	↑↓	
 Alteration of auxiliary sequences		Significant alteration of ESE / ESS motifs ratio (2)		
Algorithm/Matix		position	sequence	
EIE (ESE Site Broken)		chrX:101399747	GAGTGT	
IIE (ESS Site Broken)		chrX:101399748	AGAGTG	
Sironi_motif2 (ESS Site Broken)		chrX:101399748	AGAGTGT	
IIE (ESS Site Broken)		chrX:101399749	TAGAGT	
 New Acceptor splice site		Activation of a cryptic Acceptor site. Potential alteration of splicing (cryptic exon activation)		
Algorithm/Matix		position	sequences	variation
MaxEnt Acceptor site		chrX:101399764	- REF : ACCATGTCTCCCCACTAGAGTGT - ALT : ACCATGTCTCCCCACTAAAGTGT	-8.54 > 4.08 => 147.78%

## SVM-BPfinder

seq_id	agez	ss_dist	bp_seq	bp_scr	y_cont	ppt_off	ppt_len	ppt_scr	svm_scr				
wt	36	349	tttttaaag		-4.30072364603	0.587209302326	57	18	34				-4.3837729
wt	36	348	ttttaaagg		-1.53245739368	0.588921282799	56	18	34				-3.2360146
wt	36	332	tccttaaca		-1.36843041922	0.593272171254	40	18	34				-2.1576119
wt	36	331	cccttaacat		1.05271534081	0.59509202454	39	18	34				-1.1457329
wt	36	325	cattgaagt		-0.26992727141	0.596875	33	18	34				-1.2832442
wt	36	282	ctctaacta		2.4742265856	0.610108303249	15	24	42				1.0093922
wt	36	274	actttaaaa		-5.48424977644	0.60594795539	7	24	42				-1.6016844
wt	36	273	ctttaaaaa		-1.31248017832	0.608208955224	6	24	42				0.095789053
wt	36	253	cattcattc		-0.207235646277	0.604838709677	1	9	19				0.62968323
wt	36	246	tcctcatca		-1.29719370536	0.597510373444	10	19	37				-0.20145336
wt	36	243	tcatcacat		-1.53711726586	0.596638655462	7	19	37				-0.10578137
wt	36	238	acattaacc		-2.90230044658	0.596566523605	2	19	37				-0.32384679
wt	36	237	cattaaacct		2.63671602189	0.599137931034	1	19	37				1.9090688
wt	36	229	tggttaatt		-3.49488724098	0.59375	2	10	27				-0.64994069
wt	36	228	gtttaattt		-1.03861221981	0.596412556054	1	10	27				0.37596535
wt	36	217	ttctcagag		-0.233334927075	0.580188679245	22	8	14				-0.76434108
wt	36	186	tggtgacct		1.53476146582	0.591160220994	1	9	14				1.2607604
wt	36	179	ttgttacca		-0.815611761055	0.586206896552	4	12	20				0.20487857
wt	36	155	gtgtaagtt		-0.770933805808	0.586666666667	38	10	16				-1.9668857
wt	36	149	gtttcatga		-1.13166954383	0.583333333333	32	10	16				-1.7294174
wt	36	146	tcatgaggg		-2.18584999844	0.58865248227	29	10	16				-1.950566
wt	36	127	gtctgacct		2.55945786451	0.614754098361	10	10	16				-1.1185444
wt	36	121	ctttgactg		1.34723665694	0.612068965517	4	10	16				1.0228253
wt	36	99	tggttaagt		-2.88629176587	0.606382978723	13	8	14				-1.2249542
wt	36	98	gggttaagt		-0.608778875392	0.612903225806	12	8	14				-0.26779609
wt	36	91	tggtgaata		-0.787962435	0.627906976744	5	8	14				0.10997911
wt	36	84	tagttattt		-3.40315432481	0.645569620253	14	27	46				-1.1798655
wt	36	80	tatttatgg		-2.44529988651	0.64	10	27	46				-0.55342572
wt	36	72	gaatgaatc		-0.42868818176	0.686567164179	2	27	46				0.75759948
wt	36	62	ctattattc		-2.49906547085	0.684210526316	1	18	32				-0.12093569
wt	36	54	ccctcatta		0.224180695393	0.65306122449	1	10	17				0.79554588
wt	36	51	tcattatct		-2.33445410954	0.652173913043	15	11	30				-0.97163764
wt	36	25	ttctcaaca		0.330802281765	0.6	20	0	0				-0.5408814
wt	36	17	atcttaaac		-1.729610229	0.583333333333	12	0	0				-0.84662656
wt	36	16	tcttaaac		-0.436349277476	0.636363636364	11	0	0				-0.25982823

seq_id	agez	ss_dist	bp_seq	bp_scr	y_cont	ppt_off	ppt_len	ppt_scr	svm_scr	
mut	36	349	tttttaaag		-4.30072364603	0.587209302326	57	18	34	-4.3837729
mut	36	348	ttttaaagg		-1.53245739368	0.588921282799	56	18	34	-3.2360146
mut	36	332	tccttaaca		-1.36843041922	0.593272171254	40	18	34	-2.1576119
mut	36	331	cccttaacat		1.05271534081	0.59509202454	39	18	34	-1.1457329
mut	36	325	cattgaagt		-0.26992727141	0.596875	33	18	34	-1.2832442
mut	36	282	ctctaacta		2.4742265856	0.610108303249	15	24	42	1.0093922
mut	36	274	actttaaaa		-5.48424977644	0.60594795539	7	24	42	-1.6016844
mut	36	273	ctttaaaa		-1.31248017832	0.608208955224	6	24	42	0.095789053
mut	36	253	cattcattc		-0.207235646277	0.604838709677	1	9	19	0.62968323
mut	36	246	tcctcatca		-1.29719370536	0.597510373444	10	19	37	-0.20145336
mut	36	243	tcatcacat		-1.53711726586	0.596638655462	7	19	37	-0.10578137
mut	36	238	acattaacc		-2.90230044658	0.596566523605	2	19	37	-0.32384679
mut	36	237	cattaaacct		2.63671602189	0.599137931034	1	19	37	1.9090688
mut	36	229	tgtttaatt		-3.49488724098	0.59375 2	10	27	-0.64994069	
mut	36	228	gtttaattt		-1.03861221981	0.596412556054	1	10	27	0.37596535
mut	36	217	ttctcagag		-0.233334927075	0.580188679245	22	8	14	-0.76434108
mut	36	186	tggtgacct		1.53476146582	0.591160220994	1	9	14	1.2607604
mut	36	179	ttgttacc		-0.815611761055	0.586206896552	4	12	20	0.20487857
mut	36	162	cactaaagt		1.02645622809	0.573248407643	45	10	16	-1.7105445
mut	36	155	gtgtaagtt		-0.770933805808	0.586666666667	38	10	16	-1.9668857
mut	36	149	gtttcatga		-1.13166954383	0.583333333333	32	10	16	-1.7294174
mut	36	146	tcatgaggg		-2.18584999844	0.58865248227	29	10	16	-1.950566
mut	36	127	gtctgacct		2.55945786451	0.614754098361	10	10	16	1.1185444
mut	36	121	ctttgactg		1.34723665694	0.612068965517	4	10	16	1.0228253
mut	36	99	tggttaagt		-2.88629176587	0.606382978723	13	8	14	-1.2249542
mut	36	98	ggttaagtg		-0.608778875392	0.612903225806	12	8	14	-0.26779609
mut	36	91	tggtgaata		-0.787962435	0.627906976744	5	8	14	0.10997911
mut	36	84	tagttattt		-3.40315432481	0.645569620253	14	27	46	-1.1798655
mut	36	80	tatttatgg		-2.44529988651	0.64 10	27	46	-0.55342572	
mut	36	72	gaatgaatc		-0.42868818176	0.686567164179	2	27	46	0.75759948
mut	36	62	ctattattc		-2.49906547085	0.684210526316	1	18	32	-0.12093569
mut	36	54	ccctcatta		0.224180695393	0.65306122449	1	10	17	0.79554588
mut	36	51	tcattatct		-2.33445410954	0.652173913043	15	11	30	-0.97163764
mut	36	25	ttctcaaca		0.330802281765	0.6 20	0	0	0	-0.5408814
mut	36	17	atcttaaac		-1.729610229	0.583333333333	12	0	0	-0.84662656
mut	36	16	tcttaaac		-0.436349277476	0.636363636364	11	0	0	-0.25982823

Aparición nuevo BP en la secuencia mutante, posible alteración del *splicing*.

## IntSplice

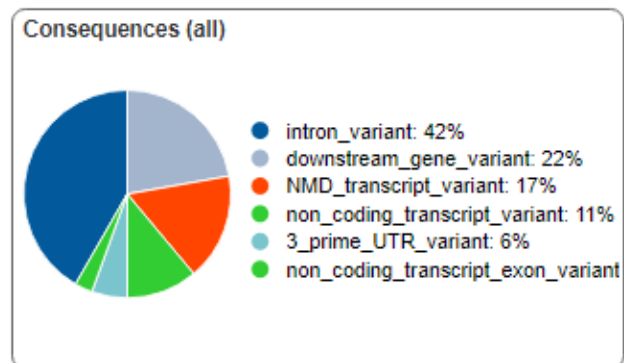
### SNV at chrX:100654735 can't be predicted by IntSplice.

Prediction shows either Abnormal or Normal.

Prediction	Genomic Mutation	Ensembl 64 Transcript ID and Exon No.
------------	------------------	---------------------------------------

## Variant Effect Predictor tool

Category	Count
Variants processed	1
Variants filtered out	0
Novel / existing variants	0 (0.0) / 1 (100.0)
Overlapped genes	3
Overlapped transcripts	26
Overlapped regulatory features	0



Se trata de una variante que está afectando al sitio de *splicing*, por lo que va a provocar que se altere el *splicing* normal. Es una variante *downstream* que está afectando al 3'UTR del gen y es una *non coding transcript exon variant*, es decir, una variante que se encuentra en un transcrito que no se suele transcribir porque no es el mayoritario. El método de NMD se encarga de degradar estos transcritos<sup>2</sup>, dado que aparece un codón de parada.

Uploaded variant	Location	Allele	Consequence	Symbol	Gene	Feature type	Feature	Biotype
ENST00000218516.3:c.639+919G>A	<a href="#">X:101399747-101399747</a>	T	intron_variant	GLA	<a href="#">ENSG00000102393</a>	Transcript	<a href="#">ENST00000218516.4</a>	protein_coding
ENST00000218516.3:c.639+919G>A	<a href="#">X:101399747-101399747</a>	T	downstream_gene_variant	RPL36A	<a href="#">ENSG00000241343</a>	Transcript	<a href="#">ENST00000372849.8</a>	nonsense_mediated_decay
ENST00000218516.3:c.639+919G>A	<a href="#">X:101399747-101399747</a>	T	downstream_gene_variant	RPL36A	<a href="#">ENSG00000241343</a>	Transcript	<a href="#">ENST00000392994.7</a>	protein_coding
ENST00000218516.3:c.639+919G>A	<a href="#">X:101399747-101399747</a>	T	intron_variant	RPL36A-HNRNP2	<a href="#">ENSG00000257529</a>	Transcript	<a href="#">ENST00000409170.3</a>	protein_coding
ENST00000218516.3:c.639+919G>A	<a href="#">X:101399747-101399747</a>	T	intron_variant	RPL36A-HNRNP2	<a href="#">ENSG00000257529</a>	Transcript	<a href="#">ENST00000409338.5</a>	protein_coding
ENST00000218516.3:c.639+919G>A	<a href="#">X:101399747-101399747</a>	T	downstream_gene_variant	RPL36A	<a href="#">ENSG00000241343</a>	Transcript	<a href="#">ENST00000427805.6</a>	protein_coding
ENST00000218516.3:c.639+919G>A	<a href="#">X:101399747-101399747</a>	T	downstream_gene_variant	RPL36A	<a href="#">ENSG00000241343</a>	Transcript	<a href="#">ENST00000465744.5</a>	retained_intron
ENST00000218516.3:c.639+919G>A	<a href="#">X:101399747-101399747</a>	T	intron_variant, non_coding_transcript_variant	GLA	<a href="#">ENSG00000102393</a>	Transcript	<a href="#">ENST00000466414.2</a>	retained_intron
ENST00000218516.3:c.639+919G>A	<a href="#">X:101399747-101399747</a>	T	intron_variant, non_coding_transcript_variant	GLA	<a href="#">ENSG00000102393</a>	Transcript	<a href="#">ENST00000468823.2</a>	retained_intron
ENST00000218516.3:c.639+919G>A	<a href="#">X:101399747-101399747</a>	T	downstream_gene_variant	RPL36A	<a href="#">ENSG00000241343</a>	Transcript	<a href="#">ENST00000471855.1</a>	protein_coding
ENST00000218516.3:c.639+919G>A	<a href="#">X:101399747-101399747</a>	T	intron_variant, non_coding_transcript_variant	GLA	<a href="#">ENSG00000102393</a>	Transcript	<a href="#">ENST00000479445.2</a>	retained_intron
ENST00000218516.3:c.639+919G>A	<a href="#">X:101399747-101399747</a>	T	intron_variant, NMD_transcript_variant	GLA	<a href="#">ENSG00000102393</a>	Transcript	<a href="#">ENST00000480513.6</a>	nonsense_mediated_decay
ENST00000218516.3:c.639+919G>A	<a href="#">X:101399747-101399747</a>	T	intron_variant, NMD_transcript_variant	GLA	<a href="#">ENSG00000102393</a>	Transcript	<a href="#">ENST00000486121.6</a>	nonsense_mediated_decay
ENST00000218516.3:c.639+919G>A	<a href="#">X:101399747-101399747</a>	T	downstream_gene_variant	RPL36A	<a href="#">ENSG00000241343</a>	Transcript	<a href="#">ENST00000489407.1</a>	retained_intron
ENST00000218516.3:c.639+919G>A	<a href="#">X:101399747-101399747</a>	T	3_prime_UTR_variant, NMD_transcript_variant	GLA	<a href="#">ENSG00000102393</a>	Transcript	<a href="#">ENST00000493905.6</a>	nonsense_mediated_decay
ENST00000218516.3:c.639+919G>A	<a href="#">X:101399747-101399747</a>	T	downstream_gene_variant	RPL36A	<a href="#">ENSG00000241343</a>	Transcript	<a href="#">ENST00000553110.8</a>	protein_coding
ENST00000218516.3:c.639+919G>A	<a href="#">X:101399747-101399747</a>	T	downstream_gene_variant	RPL36A	<a href="#">ENSG00000241343</a>	Transcript	<a href="#">ENST00000614077.4</a>	protein_coding
ENST00000218516.3:c.639+919G>A	<a href="#">X:101399747-101399747</a>	T	intron_variant	GLA	<a href="#">ENSG00000102393</a>	Transcript	<a href="#">ENST00000649178.1</a>	protein_coding
ENST00000218516.3:c.639+919G>A	<a href="#">X:101399747-101399747</a>	T	3_prime_UTR_variant, NMD_transcript_variant	GLA	<a href="#">ENSG00000102393</a>	Transcript	<a href="#">ENST00000674127.1</a>	nonsense_mediated_decay
ENST00000218516.3:c.639+919G>A	<a href="#">X:101399747-101399747</a>	T	intron_variant, non_coding_transcript_variant	GLA	<a href="#">ENSG00000102393</a>	Transcript	<a href="#">ENST00000674142.1</a>	retained_intron
ENST00000218516.3:c.639+919G>A	<a href="#">X:101399747-101399747</a>	T	intron_variant	GLA	<a href="#">ENSG00000102393</a>	Transcript	<a href="#">ENST00000674634.1</a>	protein_coding
ENST00000218516.3:c.639+919G>A	<a href="#">X:101399747-101399747</a>	T	intron_variant	GLA	<a href="#">ENSG00000102393</a>	Transcript	<a href="#">ENST00000675592.1</a>	protein_coding
ENST00000218516.3:c.639+919G>A	<a href="#">X:101399747-101399747</a>	T	intron_variant, NMD_transcript_variant	GLA	<a href="#">ENSG00000102393</a>	Transcript	<a href="#">ENST00000675799.1</a>	nonsense_mediated_decay
ENST00000218516.3:c.639+919G>A	<a href="#">X:101399747-101399747</a>	T	non_coding_transcript_exon_variant	GLA	<a href="#">ENSG00000102393</a>	Transcript	<a href="#">ENST00000675968.1</a>	retained_intron
ENST00000218516.3:c.639+919G>A	<a href="#">X:101399747-101399747</a>	T	intron_variant	GLA	<a href="#">ENSG00000102393</a>	Transcript	<a href="#">ENST00000676156.1</a>	protein_coding
ENST00000218516.3:c.639+919G>A	<a href="#">X:101399747-101399747</a>	T	intron_variant, NMD_transcript_variant	GLA	<a href="#">ENSG00000102393</a>	Transcript	<a href="#">ENST00000676372.1</a>	nonsense_mediated_decay



### ESEfinder

Cuando se buscan los posibles sitios de *splicing*, solo se obtiene un resultado con la posición de interés con puntuación positiva en las matrices de 5'SS: tctcccactagagtgtaagtttcatgagg (6.52100 y 6.49500). Si buscamos los resultados equivalentes en las predicciones para la secuencia mutada, vemos que las puntuaciones suben bastante (6.70680 y 6.63480), por lo que puede que no tenga un papel importante en el *splicing*. Por otro lado, hay un resultado con puntuación positiva en las matrices 3'SS: atgtctcccactagagtgtaagtttcatg (4.49150 y 4.60490). Su equivalente en la secuencia mutada tiene puntuaciones negativas (-9.49340 y -12.74310). Por lo tanto, se está perdiendo un sitio 3'SS, lo que hará que sea más probable la alteración del *splicing*.

### EX-SKIP

Predictor para secuencias exónicas.

### HOT-SKIP

Predictor para secuencias exónicas.